

求不稳定温度场的一种显式差分格式*

王 润 富

(南京华东水利学院)

ON A DIFFERENCE FORMULA TO SOLVE THE NO-STEADY FIELD OF TEMPERATURE

Wang Run-fu

(The East China Technical University of Water Resources)

Abstract

In this paper a difference formula was introduced, in which the derivative of the temperature function with respect to time t used second difference formula. It possesses the precision higher than the linear difference formula, i.e. the error of the second difference formula is $O(\Delta t^3)$ less than $O(\Delta t^2)$ of the linear formula. The conditions of stability and convergence of this formula is almost same with the linear formula.

一、平面不稳定温度场

基本方程

$$\dot{T} = a\nabla^2 T + \theta, \quad (1)$$

其中 θ 表示物体的绝热温升。如混凝土的内热源强度用绝热温升 θ 表示为

$$\theta = \theta_0 t / (m + t).$$

以后凡是 \dot{T} 、 \ddot{T} 、 \dddot{T} 分别表示 T 对时间 t 的一、二、三阶导数， $\dot{\theta}$ 、 $\ddot{\theta}$ 表示 θ 对 t 的一、二阶导数。

边界条件一、二、三类分别为

$$c_1: \quad T|_s = T_b(t), \quad (2)$$

$$c_2: \quad q_n|_s = q_b(t), \quad \text{即} \quad -\lambda \frac{\partial T}{\partial n} \Big|_s = q_b, \quad (3)$$

$$c_3: \quad q_n|_s = \beta(T_s - T_a(t)), \quad \text{即} \quad -\lambda \frac{\partial T}{\partial n} \Big|_s = \beta(T_s - T_a). \quad (4)$$

初始条件

$$t = t_0: \quad T = T(x, y, t_0). \quad (5)$$

* 1980年9月20日收到。

记 t 时刻的温度为 T , $(t + \Delta t)$ 时刻的温度为 T' , 应用台劳公式

$$\begin{aligned} T' &= T + \dot{T}\Delta t + \ddot{T}\frac{\Delta t^2}{2} + \dddot{T}(t + \alpha\Delta t)\frac{\Delta t^3}{6} \\ &= T + \dot{T}\Delta t + \ddot{T}\frac{\Delta t^2}{2} + O(\Delta t^3). \end{aligned} \quad (6)$$

(6)式比目前常用的线性差分公式的误差 $O(\Delta t^2)$ 要高一阶。

我们根据(6)式(略去 $O(\Delta t^3)$) 来列出 0 点的差分公式。注意由方程(1)得到

$$\dot{T} = a\nabla^2 T + \dot{\theta}, \quad \ddot{T} = a\nabla^2 \dot{T} + \ddot{\theta},$$

代入(6)式,对 x, y 也用抛物线差分公式,则对 0 点列出差分方程为(见图 1)

$$T'_0 = T_0 + \dot{T}_0\Delta t + [a\nabla^2 \dot{T} + \ddot{\theta}]_0 \frac{\Delta t^2}{2},$$

而

$$\dot{T}_0 = [a\nabla^2 T + \dot{\theta}]_0 = \frac{a}{h^2}(T_{1,2,3,4} - 4T_0) + \dot{\theta}_0,$$

$$\ddot{T}_0 = [a\nabla^2 \dot{T} + \ddot{\theta}]_0 = \frac{a}{h^2}(\dot{T}_{1,2,3,4} - 4\dot{T}_0) + \ddot{\theta}_0.$$

这里记 $T_{1,2,3,4} = T_1 + T_2 + T_3 + T_4$, 下同,并记 h 为 x, y 向网格步长, Δt 为时间步长, 又记

$$n = a\Delta t/h^2.$$

略去 θ 的三阶量,则

$$\theta' - \theta \doteq \dot{\theta}\Delta t + \frac{1}{2}\ddot{\theta}\Delta t^2.$$

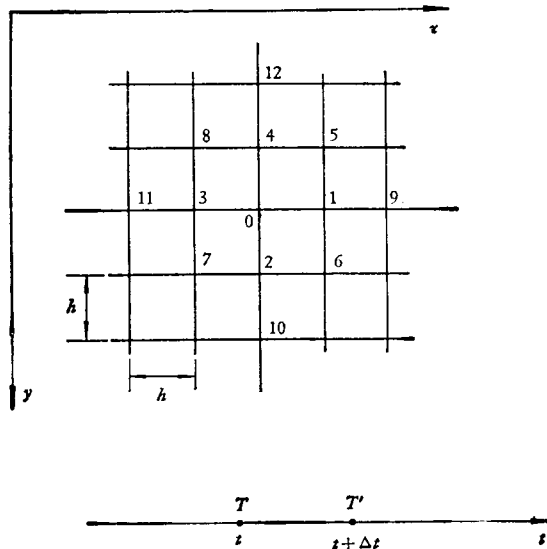


图 1 差分网格图

于是代入后得到内节点 0 的显式差分方程

$$T'_0 = T_0(1 - 4n + 10n^2) + T_{1,2,3,4}(n - 4n^2) + T_{5,6,7,8}(n^2) \\ + T_{9,10,11,12}\left(\frac{n^2}{2}\right) + (\theta'_0 - \theta_0) + \frac{n}{2}(\dot{\theta}_{1,2,3,4} - 4\dot{\theta}_0)\Delta t. \quad (7)$$

一般如混凝土的绝热温升 θ 在同一令期的一块中, 是不随位置改变的, 所以此时可得

$$(\dot{\theta}_{1,2,3,4} - 4\dot{\theta}_0) = 0.$$

对第一类边界 c_1 , 设图 1 中 5 1 6 为 c_1 边界, T_5, T_1, T_6 为已知, 则对 c_1 边界内的 0 点的显式差分方程为

$$T'_0 = T_0\left(1 - 4n + \frac{19}{2}n^2\right) + T_1(n - 2n^2) + T_{2,3,4}(n - 4n^2) \\ + T_{5,6}\left(\frac{n^2}{2}\right) + T_{7,8}(n^2) + T_{10,11,12}\left(\frac{n^2}{2}\right) + (\theta'_0 - \theta_0) \\ + \frac{n}{2}(\dot{\theta}_{2,3,4} + \dot{T}_1 - 4\dot{\theta}_0)\Delta t. \quad (8)$$

对第二类边界 c_2 , 设图 1 中 4 0 2 为 c_2 边界, 则 T_4, T_0, T_2 为未知数, 由边界条件

$$-\lambda \frac{\partial T}{\partial n} \Big|_s = q_b,$$

我们得到边界外一行虚结点的 T 值表示如下:

$$T_1 = T_3 - \frac{2h}{\lambda}q_0, \quad \dot{T}_1 = \dot{T}_3 - \frac{2h}{\lambda}\dot{q}_0, \\ T_5 = T_8 - \frac{2h}{\lambda}q_4, \quad T_6 = T_7 - \frac{2h}{\lambda}q_2,$$

其中 q_0, q_4, q_2 为已知. 代入可得 c_2 边界上 0 点的显式差分方程

$$T'_0 = T_0(1 - 4n + 10n^2) + T_{2,3,3,4}(n - 4n^2) + T_{7,8}(2n^2) \\ + T_{10,11,11,12}\left(\frac{n^2}{2}\right) + (\theta'_0 - \theta_0) + \frac{n}{2}(\dot{\theta}_{2,3,3,4} - 4\dot{\theta}_0) \\ - \frac{h}{\lambda}n[2(1 - 2n)q_0 + nq_{2,4} + \dot{q}_0\Delta t]. \quad (9)$$

对于第三类边界 c_3 , 设图 1 中 4 0 2 为 c_3 边界, T_4, T_0, T_2 为未知数, 由边界条件

$$-\lambda \frac{\partial T}{\partial n} \Big|_s = \beta(T_s - T_a)$$

得虚结点的 T 值

$$T_1 = T_3 - 2k(T_0 - T_a), \quad \dot{T}_1 = \dot{T}_3 - 2k(\dot{T}_0 - \dot{T}_a), \\ T_5 = T_8 - 2k(T_4 - T_a), \quad T_6 = T_7 - 2k(T_2 - T_a),$$

其中

$$k = h\beta/\lambda.$$

代入得到 c_3 边界上 0 点显式差分方程

$$T'_0 = T_0[(1 - 4n + 10n^2) + 2kn(kn + 4n - 1)] \\ + T_{2,4}(n - 4n^2 - 2kn^2) + 2T_3(n - 4n^2 - kn^2)$$

$$\begin{aligned}
 &+ T_{7,8}(2n^2) + T_{10,11,11,12} \left(\frac{n^2}{2} \right) + (\theta'_0 - \theta_0) \\
 &+ \frac{n}{2} (\dot{\theta}_{2,3,3,4} - 4\dot{\theta}_0) \Delta t + kn\dot{T}_a \Delta t + 2knT_a(1 - n - kn). \quad (10)
 \end{aligned}$$

二、一维不稳定温度场

设温度场 T 只沿 x 向变化, 则

$$T_5 = T_6 = T_1, \quad T_7 = T_8 = T_3,$$

$$T_4 = T_2 = T_{10} = T_{12} = T_0.$$

代入, 简化(7—10)公式可得一维不稳定温度场的显式差分公式如下:

内点 0 的方程

$$\begin{aligned}
 T'_0 &= T_0(1 - 2n + 3n^2) + T_{1,3}(n - 2n^2) + T_{9,11} \left(\frac{n^2}{2} \right) \\
 &+ (\theta'_0 - \theta_0) + \frac{n}{2} (\dot{\theta}_{1,3} - 2\dot{\theta}_0) \Delta t; \quad (11)
 \end{aligned}$$

c_1 边界内 0 点方程

$$\begin{aligned}
 T'_0 &= T_0 \left(1 - 2n + \frac{5}{2} n^2 \right) + T_1(n - n^2) + T_3(n - 2n^2) \\
 &+ T_{11} \left(\frac{n^2}{2} \right) + (\theta'_0 - \theta_0) + \frac{n}{2} (\dot{\theta}_3 + \dot{T}_1 - 2\dot{\theta}_0) \Delta t; \quad (12)
 \end{aligned}$$

c_2 边界点 0 的方程

$$\begin{aligned}
 T'_0 &= T_0(1 - 2n + 3n^2) + T_3(2n - 4n^2) + T_{11}(n^2) \\
 &+ (\theta'_0 - \theta_0) + n(\dot{\theta}_3 - \dot{\theta}_0) \Delta t - \frac{h}{\lambda} n[(2 - 2n)q_0 + \dot{q}_0 \Delta t]; \quad (13)
 \end{aligned}$$

c_3 边界点 0 的方程

$$\begin{aligned}
 T'_0 &= T_0[(1 - 2n + 3n^2) + 2kn(kn + 2n - 1)] + T_3(2n - 4n^2 - 2kn^2) \\
 &+ T_{11}(n^2) + (\theta'_0 - \theta_0) + n(\dot{\theta}_3 - \dot{\theta}_0) \Delta t \\
 &+ kn[\dot{T}_a \Delta t + 2T_a(1 - n - kn)]. \quad (14)
 \end{aligned}$$

三、关于稳定性和收敛性的分析

对于迭代格式

$$u_{j+1} = Au_j + B, \quad u_0 = \varphi, \quad (15)$$

其中 A 为系数矩阵, u 为未知数列阵, B 为自由项列阵, u_0 为初值, u_{j+1} , u_j 分别为第 $j+1$, j 次迭代值. 这种差分格式的稳定性和收敛性的充分条件可以用矩阵 A 的范数表示如下^[2,3,4]:

$$\|A\| \leq 1. \quad (16)$$

这里范数 $\|A\|$ 取

$$\|A\|_m = \max_k \sum_l |a_{kl}| \leq 1. \quad (17)$$

满足条件(16)或(17)便保证了差分格式的稳定性(即误差向量 ρ_j 的范数小于初始误差向量 ρ_0 的范数)和收敛性(即当 $\Delta t \rightarrow 0, h \rightarrow 0$ 时差分方程的解逼近微分方程的解).

1. 下面按(17)式讨论平面不稳定温度场的显式格式,分析(7)–(10)式的稳定性和收敛性条件.

(7)式,我们对第一个因子 $f_1 = (1 - 4n + 10n^2)$ 补充两个加强性的附加条件: 在迭代过程中,①为防止 T_0 值正负变号令 $f_1 \geq 0$, 显然由于 $f_1 = [(1 - 2n)^2 + 6n^2] \geq 0$, 所以自然满足;②为防止 T_0 值不收敛,令 $f_1 \leq 1$, 因为 f_1 是 n 的二次式,可得出当 $0 \leq n \leq \frac{4}{10}$ 时, $f_1 \leq 1$, 否则 $f_1 > 1$. 又由定义 $n = \frac{a\Delta t}{h^2}$, 显然 $n \geq 0$, 所以由上面条件得出

$$0 \leq n \leq \frac{4}{10}. \quad (a)$$

为取第二个因子 $f_2 = (n - 4n^2)$ 的绝对值,在不违背条件(a)下,只能取 $f_2 \geq 0$, 所以得

$$0 \leq n \leq \frac{1}{4}. \quad (b)$$

再求范数

$$\|A\|_m = (1 - 4n + 10n^2) + 4(n - 4n^2) + 6n^2 = 1,$$

满足条件(17). 比较(a)、(b)条件,得内点对 n 的限制条件是

$$0 \leq n \leq \frac{1}{4}. \quad (18)$$

对(8)、(9)进行讨论的结果完全同(18)式.

关于第三类边界点的(10)式,我们对第一个因子

$$g_1 = [(1 - 4n + 10n^2) + 2kn(kn + 4n - 1)]$$

补充条件: ①令 $g_1 \geq 0$, 由于 $g_1 = \{[1 - (2 + k)n]^2 + (6 + 4k + k^2)n^2\} \geq 0$, 自然满足;②令 $g_1 \leq 1$, g_1 为 n 的二次式,可得当

$$0 \leq n \leq \frac{(2 + k)}{(2 + k)^2 + 1} \quad (c)$$

时 $g_1 \leq 1$, 否则 $g_1 > 1$.

其次对第二个因子 $g_2 = (n - 4n^2 - 2kn^2)$ 取绝对值,在不违背条件(c)下,只能取 $g_2 \geq 0$, 得到

$$0 \leq n \leq \frac{1}{2(2 + k)} \quad (d)$$

对第三个因子 $g_3 = (n - 4n^2 - kn^2)$ 取绝对值,在(c)条件下只能取 $g_3 \geq 0$, 得到

$$0 \leq n \leq \frac{1}{(4 + k)} \quad (e)$$

1) 设 $k + 2 > 0$.

2) 设 $k + 4 > 0$.

代入求范数 $\|A\|_m$, 得

$$\begin{aligned}\|A\|_m &= [(1 - 4n + 10n^2) + 2kn(kn + 4n - 1) \\ &\quad + 2(n - 4n^2 - 2kn^2) + 2(n - 4n^2 - kn^2) + 6n^2] \\ &= [1 - 2kn + 2k(k + 1)n^2].\end{aligned}$$

为了使 $\|A\|_m \leq 1$, 必须取

$$0 \leq n \leq \frac{1}{(k + 1)}. \quad (f)$$

比较 (c)、(d)、(e)、(f), 可见对(10)式 n 应取为

$$0 \leq n \leq \frac{1}{2(2 + k)}. \quad (19)$$

2. 对于一维问题的不稳定温度场的显式差分方程, 同样可以导出稳定性、收敛性的充分条件.

对于内结点和 c_1 、 c_2 边界点上的方程(11)、(12)、(13)的条件是

$$0 \leq n \leq \frac{1}{2}. \quad (20)$$

对于 c_3 边界点方程(14)的条件是

$$0 \leq n \leq \frac{1}{(2 + k)}. \quad (21)$$

3. 我们将对 t 的线性显式差分公式^[1]和本文对 t 的抛物线显式差分公式的稳定性、收敛性条件相比较, 见表 1, 可以看出两者对 n 的要求几乎相同.

表 1 稳定性、收敛性条件比较

	对 t 差分公式	内结点、 c_1 、 c_2 边界点	c_3 边界点
平面问题	抛物线公式	$n \leq \frac{1}{4}$	$n \leq \frac{1}{2(2+k)}$
	线性公式	$n \leq \frac{1}{4}$	$n \leq \frac{1}{2(2+k)}$
一维问题	抛物线公式	$n \leq \frac{1}{2}$	$n \leq \frac{1}{(2+k)}$
	线性公式	$n \leq \frac{1}{2}$	$n \leq \frac{1}{2(1+k)}$

注 1) 此式与第三式未完全匹配.

四、例 题

设有一平面长条, 初始温度 $T_0 = 100^\circ$, 边界条件 $T_r = 0$, 图 2. 物理常数(以米、吨、天、度为单位)为 $\lambda = 46$, $c = 230$, $p = 2$, $a = \frac{\lambda}{cp} = 0.1$, $\beta = 480$. 取 $h = 1$ 米, $n = 0.1\Delta t$, $k = 10.436$. 由稳定性和收敛性条件要求 $n \leq \frac{1}{2}$, 所以 $\Delta t \leq 5$ (天).

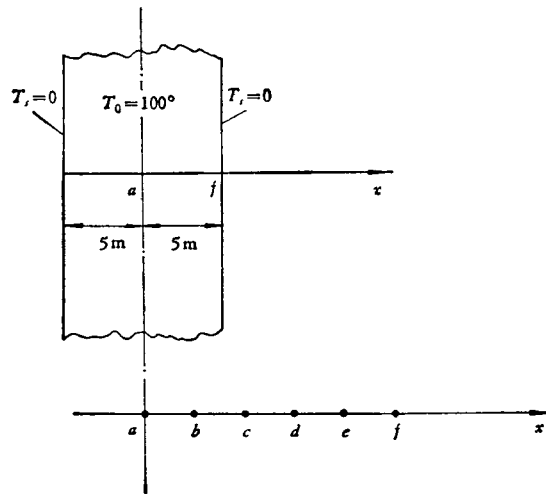


图2 一维问题的差分计算

表2 一维温度场例题计算, a 点 T 值(度)

t (天)	0	5	10	15	20	25	30	35
解析解	100	100	99.918	99.221	97.515	94.931	91.754	88.244
本文公式	100	100	100	99.219	97.559	95.164	92.241	88.976
误差 %						0.7	0.5	0.8
线性公式	100	100	100	100	100	93.750	93.750	85.938
误差 %				0.8	2.5	-1.2	2.2	-2.6
t (天)	40	45	50	55	60	65	70	75
解析解	84.578	80.883	77.231	73.667	71.220	66.902	63.722	60.680
本文公式	85.519	81.980	78.438	74.947	71.541	68.242	65.063	62.010
误差 %	1.1	1.3	1.6	1.7	0.04	2.0	2.1	2.2
线性公式	85.938	78.125	78.125	70.801	70.801	64.087	64.087	57.984
误差 %	1.6	-3.4	1.2	-3.9	-0.6	-4.2	0.6	-4.4

以下取时间步长 $\Delta t = 5$ 天, 空间步长 $h = 1$ 米, 在 $a-f$ 线上(图2)仅取六点进行计算. 我们根据抛物线公式(11)、(12)进行计算, 又对比了线性显式公式^[1]的计算结果及理论解^[5]的结果, 列于表2.

从结果比较可以看出, 本文的显式差分公式在精度上优于一般的线性显式差分公式.

五、结 论

1. 本文导出对 t 的抛物线显式差分公式与对 t 的线性显式差分公式^[1]相比, 两者的稳定性、收敛性条件相似, 见表 1.
2. 本文公式从精度上讲, 要比线性公式好, 前者误差为 $O(\Delta t^3)$, 后者为 $O(\Delta t^2)$, 这方面精度提高了一阶. 从例题看, 前者精度也优于后者, 得到了验证.
3. 本文对 t , 对坐标 x, y 均采用抛物线差分公式, 两者是匹配的. 所以, 本文可作为显式差分公式的一种改进.

参 考 文 献

- [1] 徐芝纶, 弹性力学(上), 人民教育出版社, 1979.
- [2] 清华大学、北京大学, 计算方法(下册), 科学出版社, 1980.
- [3] 胡祖炽, 计算方法, 高等教育出版社, 1959.
- [4] 北京大学、吉林大学、南京大学, 计算方法, 人民教育出版社, 1961.
- [5] 潘家铮, 混凝土坝的温度控制计算, 上海科学技术出版社, 1959